

УДК 534.23

УГОЛКОВАЯ АКУСТИЧЕСКАЯ АНТЕННА

В. Т. МАЦЫПУРА*, Л. А. ТРУНОВА

Киевский национальный университет имени Тараса Шевченко
ул. Владимирская, 64/13, 01601, ГСП, Киев, Украина

*E-mail: mnivtt@gmail.com

Получено 06.02.2014

Рассмотрена плоская задача взаимодействия группы точечных источников с уголковым отражателем. Исследованы дальнее и ближнее поля излучения уголкового антенны в зависимости от геометрии уголка и местоположения источников. Показана возможность рационального подбора амплитудно-фазового распределения возбуждения источников для улучшения излучающих свойств антенны. Исследованы особенности излучения уголкового антенной узкополосного импульса.

КЛЮЧЕВЫЕ СЛОВА: акустическая антенна, уголок, система источников, амплитудно-фазовое распределение

Розглянуто плоску задачу про взаємодію групи точкових джерел з кутниковим відбивачем. Досліджено дальнє та ближнє поля випромінювання кутникової антени в залежності від геометрії кутника й місця розташування джерел. Показано можливість раціонального вибору амплітудно-фазового розподілу збудження джерел для покращення випромінюючих властивостей антени. Досліджено особливості випромінювання кутниковою антеною вузькосмугового імпульсу.

КЛЮЧОВІ СЛОВА: акустична антена, кутник, система джерел, амплітудно-фазовий розподіл

The paper deals with considering of a plane problem on interaction of a group of point sources with a wedge-shaped reflector. The near and far fields are studied depending on the wedge geometry and location of the sources. The possibility of rational choice of the amplitude-phase distribution of sources' excitation for improving of the antenna's radiative characteristics is shown. The features of radiation of the narrow-band pulse by the wedge-shaped antenna are investigated.

KEY WORDS: acoustic antenna, wedge, a system of sources, the amplitude-phase distribution

ВВЕДЕНИЕ

Конструкцию, представляющую собой группу источников, расположенных в окрестности уголкового отражателя, принято рассматривать как уголковую антенну [1, 2]. Уголковые антенны находят применение в приемно-излучающих комплексах, работающих на звуковых и электромагнитных волнах. Однако если в электромагнитных устройствах такие антенны работают обычно в диапазоне ультракоротких волн, то для акустики интерес представляют конструкции, у которых размеры уголкового отражателя сравнимы с длиной волны. В последнее время уголковые антенны находят широкое применение при акустическом зондировании атмосферного пограничного слоя [3–5] и при создании высококачественных аудиосистем для прослушивания музыкальных произведений [6, 7].

Данная статья посвящена исследованию дальнего и ближнего акустических полей, создаваемых группой источников, расположенных в окрестности уголкового отражателя. При этом считается, что геометрические размеры уголка сравнимы с длиной волны.

1. ПОСТРОЕНИЕ РЕШЕНИЯ ЗАДАЧИ

Рассмотрим плоскую задачу излучения N точечных источников S_j , $j = 1, 2, \dots, N$, расположенных в окрестности уголкового отражателя конечных размеров с углом раскрытия $2\theta_1$ (рис. 1). Источники расположены на оси симметрии уголка на расстояниях R_j от начала координат O . Каждый источник создает цилиндрическую волну с частотой ω . Будем полагать, что поверхности уголка акустически жесткие, а сам уголок погружен в идеальную жидкую среду с плотностью ρ и скоростью звука c .

Для построения решения задачи введем полярную систему координат (r, θ) . Согласно методу частичных областей [8], все пространство существования звукового поля делится на три области: I – внешность круга радиуса a , т. е. $r \geq a$, $|\theta| \leq \pi$; II – сектор $0 \leq r \leq a$, $|\theta| \leq \theta_1$; III – сектор $0 \leq r \leq a$, $|\theta| \geq \pi - \theta_1$.

Поле в области I с учетом симметрии относительно оси $\theta = 0$ запишем в виде суперпозиции бегущих цилиндрических волн с угловой зависимостью в виде функций $\cos(n\theta)$, $n = 0, 1, 2, \dots$:

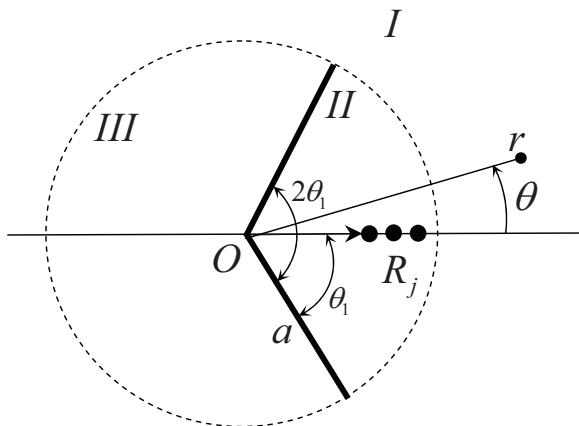


Рис. 1. Геометрия уголкового антенны

$$p_I = \sum_{n=0}^{\infty} A_n \frac{H_n^{(1)}(kr)}{H_n^{(1)'}(ka)} \cos(n\theta). \quad (1)$$

Здесь $H_n^{(1)}(kr)$ – функция Ханкеля; штрих означает производную по полному аргументу. Временной множитель $\exp(-i\omega t)$ опускаем.

Поле в области II представим в виде суммы двух слагаемых, одно из которых представляет собой поле источников в клиновидной области, а второе – суперпозицию стоячих волн, подобранных в соответствии с граничными условиями на сторонах уголка:

$$p_{II} = \sum_{j=1}^N p_j^{(0)} + \sum_{n=0}^{\infty} B_n \frac{J_{\alpha_n}(kr)}{J'_{\alpha_n}(ka)} \cos(\alpha_n \theta). \quad (2)$$

Здесь $J_{\alpha}(kr)$ – функция Бесселя.

Структурно поле в области III также является суперпозицией стоячих волн:

$$p_{III} = \sum_{n=0}^{\infty} C_n \frac{J_{\beta_n}(kr)}{J'_{\beta_n}(ka)} \cos(\beta_n(\theta - \theta_1)). \quad (3)$$

Значения α_n и β_n в соотношениях (2), (3) определяются из граничных условий на жестких поверхностях уголка, поэтому

$$\alpha_n = \frac{\pi n}{\theta_1}, \quad \beta_n = \frac{\pi n}{(\pi - \theta_1)}, \quad n = 0, 1, 2, \dots$$

Для записи поля $p_j^{(0)}$ источников S_j , которые расположены в области II, следует воспользоваться известным представлением поля источника в кли-

новидной области [9]:

$$p_j^{(0)}(r, \theta; R, \theta_0) = \frac{\pi i}{2\theta_1} \begin{cases} \sum_{n=0}^{\infty} \varepsilon_n J_{\alpha_n}(kr) H_{\alpha_n}^{(1)}(kR_j) \times \\ \times \cos(\alpha_n \theta_0) \cos(\alpha_n \theta), & r < R_j, \\ \sum_{n=0}^{\infty} \varepsilon_n J_{\alpha_n}(kR_j) H_{\alpha_n}^{(1)}(kr) \times \\ \times \cos(\alpha_n \theta_0) \cos(\alpha_n \theta), & R_j < r < a, \end{cases} \quad (4)$$

где r, θ – координаты точки наблюдения; R_j, θ_0 – координаты источника. В нашем случае $\theta_0 = 0$, поскольку все источники считаем расположенными на оси уголка.

Условия сопряжения полей на границе раздела частичных областей I и II, III (рис. 1) имеют следующий вид:

$$\frac{\partial p_I}{\partial r} = \begin{cases} \frac{\partial p_{II}}{\partial r}, & r = a, \quad |\theta| \leq \theta_1, \\ \frac{\partial p_{III}}{\partial r}, & r = a, \quad |\theta| \geq \pi - \theta_1, \end{cases} \quad (5)$$

$$p_I = p_{II}, \quad r = a, \quad |\theta| \leq \theta_1, \quad (6)$$

$$p_I = p_{III}, \quad r = a, \quad |\theta| \geq \pi - \theta_1. \quad (7)$$

Подстановкой выражения (1)–(4) в условия (5)–(7) получена функциональная система уравнений. Затем в результате ее стандартного преобразования к алгебраической форме [8] получена бесконечная система линейных алгебраических уравнений второго рода относительно неизвестных коэффициентов A_n, B_n, C_n . Эта бесконечная система уравнений решалась методом редукции.

Прежде всего, следовало проверить выполнение условий сопряжения полей на границе частичных областей I, II, III и сохранение потока мощности при изменении радиуса окружности, охватывающей источники. Считалось, что параметры уголкового антенны таковы: $2\theta_1 = 90^\circ$, $a/\lambda = 0.5$ (где λ – длина волны), координата, соответствующая положению одного из источников $R = a/2$. Количество мод (число слагаемых в суммах (1)–(3)) было равно 80, 20 и 60 соответственно. При этом выполнялось равенство $\alpha_{20} = \beta_{60} = 80$.

На рис. 2, а, б показаны вещественная и мнимая части комплексных амплитуд давления на окружности радиуса a . Аналогичные кривые для комплексных амплитуд радиальной скорости представлены на рис. 2, в и г. Отсюда явствует, что

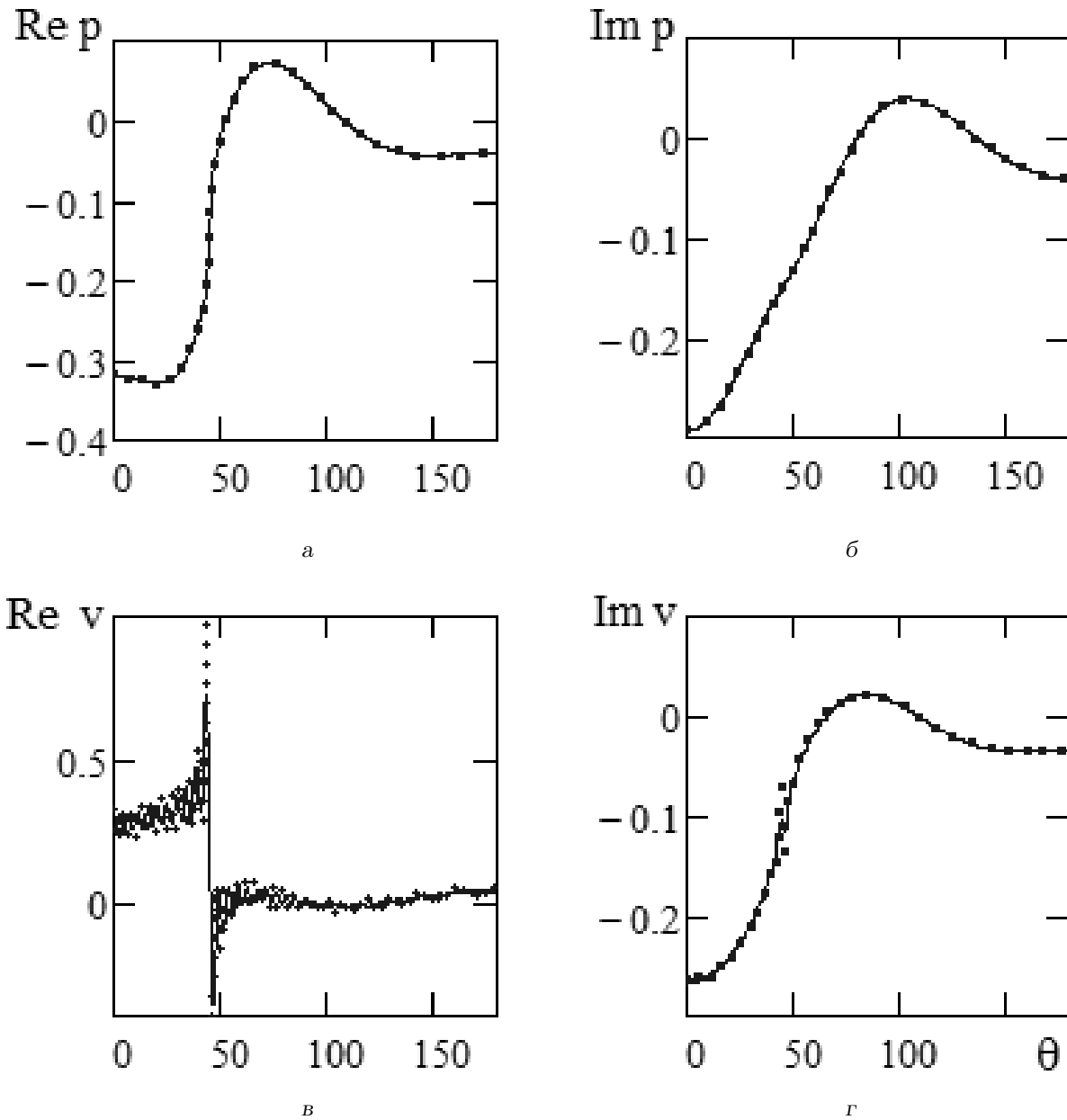


Рис. 2. Акустическое поле на окружности радиуса a – границе трех частичных областей ($2\theta_1=90^\circ$, $a/\lambda=0.5$, $R=a/2$):
 а, б – давление ($\text{Re } p$ и $\text{Im } p$), в, г – колебательная скорость ($\text{Re } v$ и $\text{Im } v$);
 сплошные – со стороны области I, маркеры – со стороны областей II, III

характеристики поля давления с графической точностью совпадают. Для колебательной скорости в окрестности угла 45° наблюдаются резкие изменения хода кривых, что является прогнозируемым следствием наличия угловых точек в отражателе конечных размеров. Впрочем, как известно, особенность скорости в окрестности угловых точек имеет локальный характер и на энергетические характеристики и дальнейшее поле антенны не вли-

яет [8].

Для проверки энергетических соотношений были вычислены средние потоки мощности через концентрические окружности радиусов $0.7a$, a и $3a$ с общим центром в начале координат. Результаты расчета совпали с точностью до четвертого знака после запятой, что подтверждает корректность выбранной реализации численно-аналитического метода решения задачи.

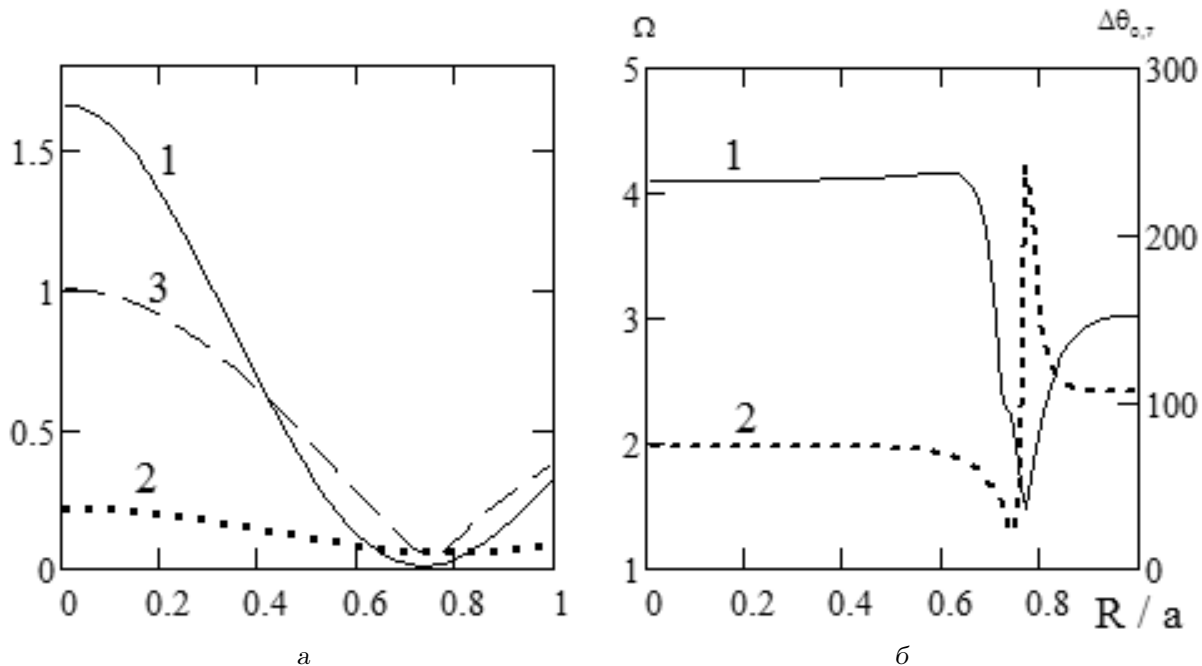


Рис. 3. Зависимость акустического поля в дальней зоне от расположения источника S на оси уголка ($2\theta_1=90^\circ$, $a/\lambda=0.5$):

а – амплитудно-мощностные характеристики:
 1 – нормированная амплитуда давления при $\theta=0^\circ$,
 2 – нормированная амплитуда давления при $\theta=180^\circ$,
 3 – мощность излучения;

б – характеристики направленности:
 1 – коэффициент концентрации Ω , 2 – ширина главного лепестка $\Delta\theta_{0.7}$

2. АНАЛИЗ ЧИСЛЕННЫХ РЕЗУЛЬТАТОВ

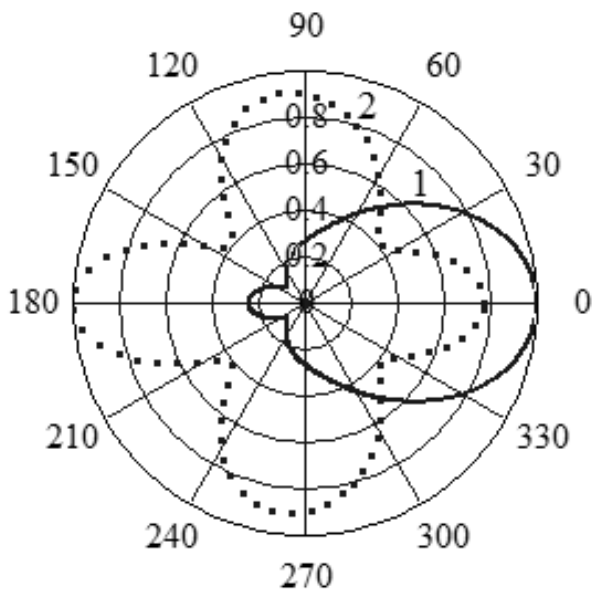


Рис. 4. Диаграммы направленности угольной антенны ($2\theta_1=90^\circ$, $a/\lambda=0.5$):

1 – $R=0.5a$, 2 – $R=0.75a$

Исследуем акустические свойства системы, представленной на рис. 1, полагая, что в уголке присутствует только один источник [10]. Вначале рассмотрим, как изменяется давление в дальнем поле при $\theta=0$ и мощность излучения в зависимости от положения источника относительно начала координат O . Из рис. 3, *а* следует, что с точки зрения энергетической эффективности наиболее целесообразно размещать источник звука в глубине угольной антенны, т. е. ближе к точке O (см. кривые 1 и 3). При этом уровень тылового излучения ($\theta=180^\circ$, кривая 2) меняется лишь в небольших пределах. Интересно отметить, что в широком диапазоне изменения положения источника ($R \leq 0.6a$) коэффициент концентрации остается постоянной величиной близкой к 4 (рис. 3, *б*, кривая 1). При этом диаграмма направленности здесь также остается практически неизменной, а ширина ее главного лепестка на уровне 0.7 составляет $\Delta\theta_{0.7} \approx 74^\circ$.

Заметим, что коэффициент концентрации в строгом смысле для плоской задачи определить

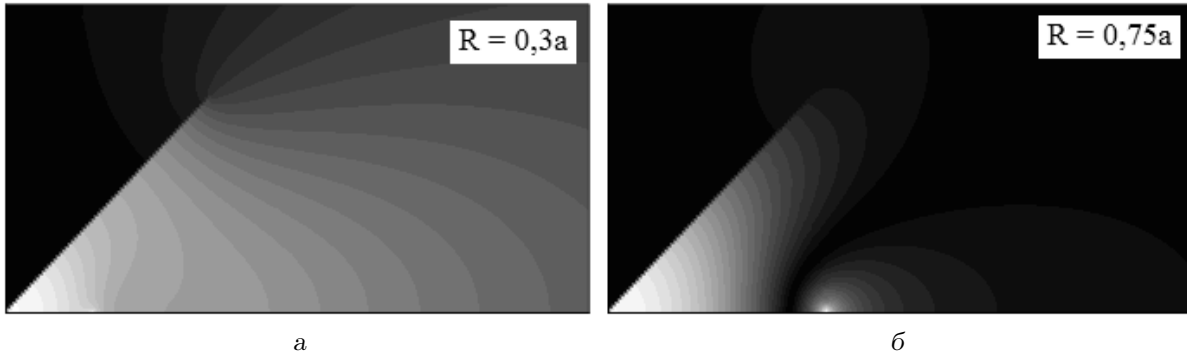


Рис. 5. Поле амплитуды давления в окрестности уголковой антенны при изменении положения источника ($2\theta_1 = 90^\circ$, $a/\lambda = 0.5$):

1 – $R = 0.3a$, 2 – $R = 0.75a$

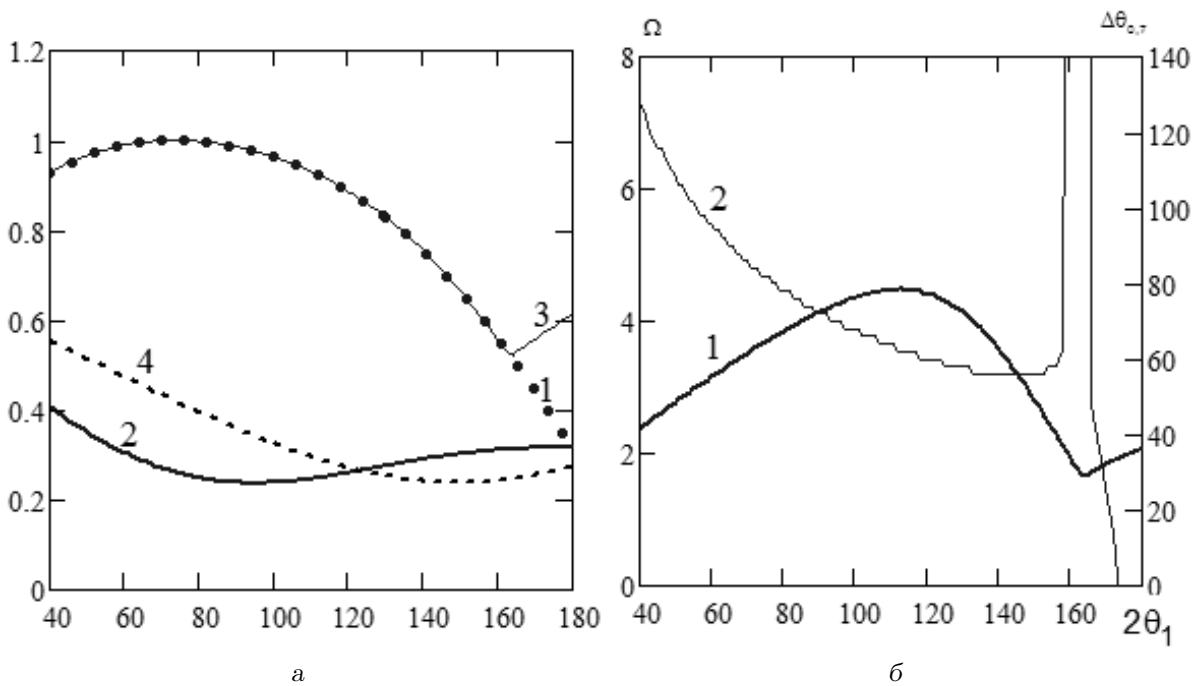


Рис. 6. Зависимость акустического поля в дальней зоне от угла раскрытия уголка ($2\theta_1$, $a/\lambda = 0.5$, $R/a = 0.5$):

а – амплитудно-мощностные характеристики:

1 – нормированная амплитуда давления при $\theta = 0^\circ$, 2 – нормированная амплитуда давления при $\theta = 180^\circ$, 3 – нормированный максимум амплитуды давления, 4 – мощность излучения;

б – характеристики направленности:

1 – коэффициент концентрации Ω , 2 – ширина главного лепестка $\Delta\theta_{0.7}$

нельзя. Тем не менее, воспользуемся величиной

$$\Omega = \pi \left[\int_0^\pi D^2(\theta) d\theta \right]^{-1}, \quad (8)$$

где $D(\theta)$ – диаграмма направленности по давлению, которая в работе [11] трактуется как коэффициент концентрации на единицу длины и, по сути,

характеризует направленные свойства антенны в плоскости.

На рис. 4 (кривая 1) приведен характерный вид диаграммы направленности при размещении источника на оси уголка с координатой $R \leq 0.6a$. Как видно из графика, здесь формируется основной лепесток с шириной $\Delta\theta_{0.7} \approx 74^\circ$ и тыльный лепесток с уровнем 0.24. При размещении источника

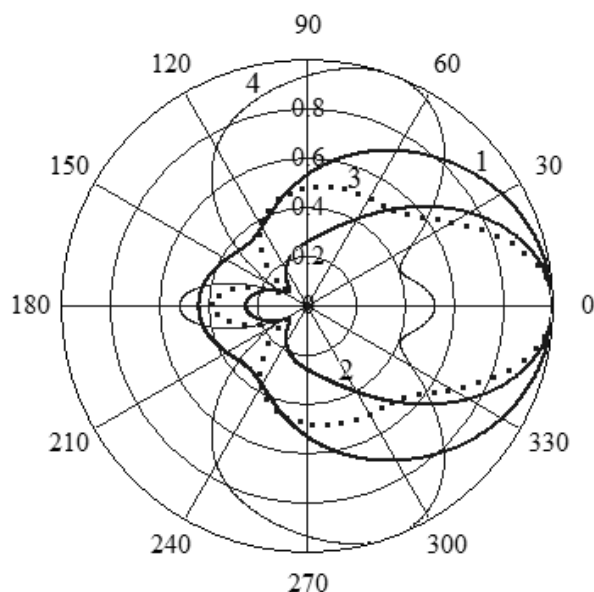


Рис. 7. Диаграммы направленности уголкового антенны при изменении угла раскрытия ($2\theta_1$, $a/\lambda=0.5$ и $R/a=0.5$):
 1 – $2\theta_1=40^\circ$ 2 – $2\theta_1=100^\circ$
 3 – $2\theta_1=140^\circ$ 4 – $2\theta_1=180^\circ$

в окрестности точки $R=0.75a$ вид диаграммы направленности резко искажается (кривая 2). Здесь максимум излучения соответствует углу $\theta=180^\circ$ и в дополнение к нему возникают три больших лепестка с уровнями порядка (0.8...0.9).

На рис. 5 показано поле амплитуды давления вблизи уголкового антенны. При приближении к $R=0.75a$ в окрестности источника оно принимает неоднородный характер с формированием пояса пониженного давления. При этом параметры дальнего поля для различных R/a таковы:
 отношение R/a : 0.1 0.3 0.5 0.75
 давление на оси: 1 0.8 0.48 0.06
 мощность излучения: 1 0.65 0.23 0.0076
 (все амплитуды пронормированы на значения при $R=0.1a$).

Коэффициент концентрации для первых трех ситуаций практически одинаков и равен приблизительно четырем. Это говорит о сохранении формы диаграммы направленности. Однако давление на оси и излучаемая мощность уменьшаются, что лишнее раз подчеркивает оптимальность выбора положения источника вблизи вершины уголка. Привлекая понятие мнимых источников, можно дать качественное объяснение сложившейся ситуации. Очевидно, расположение источника S вблизи вершины уголка не приводит к деструктивной интерференции волн от образовавшейся

совокупности мнимых источников. В то же время, если источник расположен в окрестности точки $R=0.75a$, то такая интерференция наблюдается.

Исследуем теперь зависимость параметров уголкового антенны от угла раскрытия $2\theta_1$. При этом полагаем $a/\lambda=0.5$ и $R/a=0.5$. На рис. 6 показана зависимость характеристик дальнего поля антенны как функции угла раскрытия $2\theta_1$. В дополнение к этому, на рис. 7 представлены примеры диаграмм направленности для различных углов раскрытия $2\theta_1$. Более подробный расчет характеристик направленности подтверждает сделанный выше вывод о том, что наиболее оптимальные углы раскрытия лежат в зоне $80^\circ \leq 2\theta_1 \leq 100^\circ$.

Как следует из количественных данных, при таком расположении источника звука оптимальные углы раскрытия уголка также лежат в зоне $80^\circ \leq 2\theta_1 \leq 110^\circ$. При этом давление, развиваемое антенной в дальнем поле, близко к максимальному (рис. 6, а, кривая 1), уровень тыльного излучения минимален (кривая 2), а ширина основного лепестка диаграммы направленности (рис. 6, б, кривая 2) близка к минимуму (см. также рис. 7, кривую 2). При $2\theta_1 > 110^\circ$ ширина основного лепестка продолжает уменьшаться, однако его обострение сопровождается ростом боковых лепестков (см. рис. 7, кривую 3). Коэффициент концентрации Ω достигает максимума при угле раскрытия $2\theta_1 \approx 110^\circ$ (см. рис. 6, б, кривую 1). Для углов раскрытия $2\theta_1 \geq 160^\circ$ кривая 3 на рис. 6, а проходит выше кривой 1, что говорит о существенных изменениях диаграммы направленности (см. также рис. 7, кривую 4). Очевидно, что расчет коэффициента концентрации и ширины основного лепестка при таких значениях раскрытия уголка лишен смысла.

Приведенные выше результаты получены для некоторой фиксированной частоты. Конечно, важно знать также частотные характеристики параметров дальнего поля излучателя. На рис. 8 такие зависимости представлены для уголкового антенны с $2\theta_1=90^\circ$, $R/a=0.5$. Как видно из графика, при $a/\lambda < 0.2$ все исследуемые величины быстро спадают. С ростом отношения a/λ дальнее поле антенны может претерпевать существенные изменения. Следует отметить наличие острого пика мощности излучения при $a/\lambda=0.25$ (кривая 4), что можно трактовать как своего рода пространственный резонанс в системе уголок – источник. Понятно, что при такой волновой величине уголка направленные свойства антенны не будут сильно выражены. При $a/\lambda=0.75$ излучаемая мощность падает практически до нуля. Расчет амплитуды давления

на выходе уголка ($r=a$) показывает, что ее изменение для двух указанных ситуаций составляет до 20 раз. Сравнивая ход кривых 1 и 3, можно отметить, что для определенных a/λ кривая 3 проходит выше кривой 2. Это говорит о том, что максимум давления в дальнем поле не соответствует углу $\theta=0^\circ$. Что касается излучения в тыльном направлении ($\theta=180^\circ$), то с ростом a/λ оно медленно уменьшается. Сложный характер имеют зависимости для мощности излучения (кривая 4) и коэффициента концентрации (кривая 5). Можно выделить участки изменения величины a/λ , на которых наблюдаются большие значения коэффициента концентрации, однако сопровождающиеся определенным снижением излучаемой мощности. При дальнейшем увеличении a/λ наблюдается осцилляция кривых на рис. 8. Поэтому можно указать лишь достаточно узкие частотные интервалы, на которых параметры антенны имеют удовлетворительные значения. При уменьшении величины R/a , т. е. приближении источника к вершине уголка, осциллирующий характер кривых на рис. 8 выражен слабее, хотя качественная картина повторяется.

Наличие эффективного решения для гармонического сигнала позволяет построить решение нестационарной задачи [8]. Пусть временная зависимость исходного сигнала имеет вид бесконечной последовательности отрезков синусоиды:

$$p_0(r) = \begin{cases} \sin(\omega_0 t), & 0 \leq t \leq \tau_i, \\ 0, & \tau_i \leq t \leq T_i, \end{cases} \quad (9)$$

где ω_0 – частота несущей на временном промежутке длительности импульса τ_i ; T_i – период следования импульсов. Введем параметры, широко используемые в импульсной технике, а именно, скважность $q = T_i/\tau_i$ и количество $N = \tau_i/T_0$ периодов T_0 несущей частоты $\omega_0 = 2\pi/T_0$.

Представим исходный сигнал (9) в виде ряда Фурье

$$p(r) = \sum_{s=1}^{\infty} [a_s \cos(\omega_s t) + b_s \sin(\omega_s t)], \quad (10)$$

где коэффициенты a_s и b_s определяются известными формулами. Величины $p_s = \sqrt{a_s^2 + b_s^2}$ имеют смысл амплитуд отдельных гармонических составляющих. Частоты гармоник $\omega_s = 2\pi f_s = s\omega_1 = s\Omega_i$, $s = 1, 2, 3, \dots$ кратны частоте следования импульсов $\Omega_i = 2\pi/T_i$. Постоянная составляющая ($s=0$) в ряде (10) отсутствует.

Выберем $N = 10$, $q = 10$. На рис. 9 представлены амплитудный спектр $d_s = \sqrt{a_s^2 + b_s^2}$, $s = 1, 2, \dots, 200$

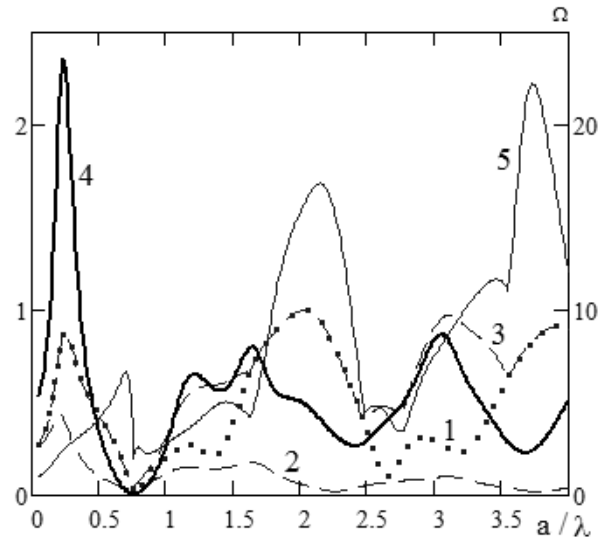


Рис. 8. Зависимость акустического поля в дальней зоне от волновой длины стороны уголка (a/λ , $2\theta_1 = 90^\circ$, $R/a = 0.5$):

- 1 – нормированная амплитуда давления при $\theta = 0^\circ$,
- 2 – нормированная амплитуда давления при $\theta = 180^\circ$,
- 3 – нормированный максимум амплитуды давления,
- 4 – мощность излучения, 5 – коэффициент концентрации Ω

и временная зависимость такого сигнала. Частота сотой гармоники равна частоте несущей сигнала. Следует отметить, что в полосе частот $[\omega_{90}, \omega_{110}]$ содержится 90 % всей энергии импульсного сигнала, поэтому его можно отнести к разряду узкополосных.

Решив поставленную задачу для каждой из гармонических составляющих ряда (10) с частотами $\omega_s = s\omega_1 = s\Omega_i$, $s = 1, 2, \dots$ и применив принцип суперпозиции, получим следующее выражение для поля давления в области I:

$$p_1(r, \theta, t) = \sum_{s=1}^{\infty} (a_s + ib_s) \exp(-i\omega_s t) \times \sum_{n=0}^{\infty} A_{sn} \frac{H_n^{(1)}(k_s r)}{H_n^{(1)'}(k_s a)} \cos(n\theta), \quad (11)$$

где $k_s = \omega_s/c$.

На рис. 10 показаны временные зависимости давления в дальней зоне импульсного источника S при его различном положении на оси уголка. Вдоль оси абсцисс отложено безразмерное время $t' = t/\tau_i$. Из графика видно, что перемещение источника от вершины уголка к его раскрытию приводит к искажению формы сигнала. При этом появляются характерные всплески в начале и конце импульса. Размещение источника на оси уголка в точке с координатой $R = 0.75a$ приводит к появле-

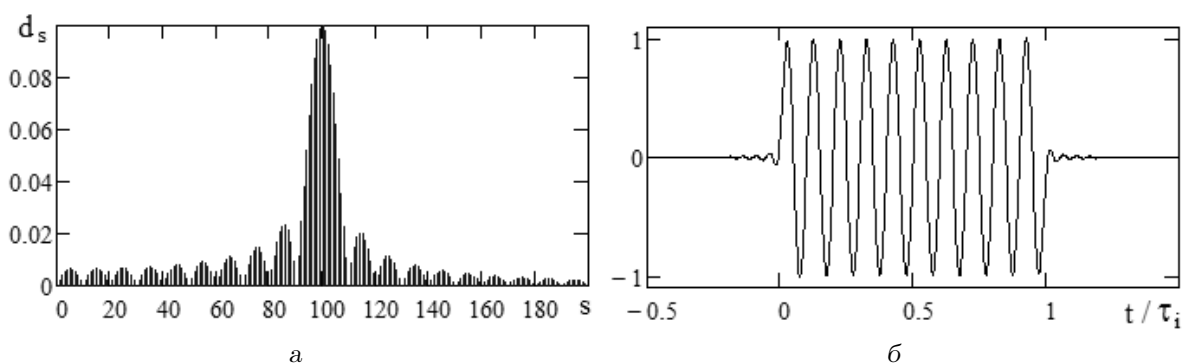


Рис. 9. Характеристики модельного импульсного сигнала:
а – амплитудный спектр, б – временная зависимость

нию очень больших искажений. Как уже показали расчеты для гармонического сигнала (см. рис. 3), это положение весьма невыгодно с точки зрения излучаемого поля. Таким образом, сохранить форму узкополосного импульса удастся только когда источник находится вблизи вершины уголка. Следует заметить, что при перемещении источника к поверхности раскрыва уровень сигнала падает.

В приведенных расчетах предполагалось наличие одного точечного источника в уголке. Если таких источников несколько, то возникает задача о рациональном подборе амплитудно-фазового распределения их возбуждения. Такая постановка относится к задачам синтеза антенн, которым посвящено значительное количество работ (например, см. монографию [12]). Не углубляясь в детали, укажем на два варианта возможной оптимизации диаграммы направленности при наличии группы источников.

Вначале рассмотрим наиболее простую ситуацию, когда местоположение двух источников в уголке выбрано неудачно. Расположим на оси уголка два точечных источника с координатами $R_1 = 0.6a$ и $R_2 = 0.9a$, т. е. недалеко от наиболее неблагоприятной позиции $R = 0.75a$. На рис. 11 кривая 1 определяет диаграмму направленности выбранной пары источников при одинаковом возбуждении. Очевидно, что направленные свойства антенны при этом совершенно неудовлетворительны. Для того, чтобы исправить ситуацию, определим комплексные амплитуды давления в дальнем поле при $\theta = 0^\circ$ по отдельности для источников, расположенных в точках $R_1 = 0.6a$ и $R_2 = 0.9a$. Вычислив их отношение, получим, что $|p_{R_2}/p_{R_1}| = 0.911$, а его аргумент $\arg(p_{R_2}/p_{R_1}) \approx 157.4^\circ$. Положив для первого источника (с координатой $R = 0.6a$) возбуждение равным единице, а для второго – с амплитудой и фазой, соответствующими вычислен-

ному отношению амплитуд, получим диаграмму направленности, представленную кривой 2. Теперь преимущественная часть акустической энергии сконцентрирована в главном лепестке, а боковое и тыльное излучение в значительной степени подавлено.

Альтернативный подход связан непосредственно с задачей синтеза антенны. Для этого используем метод, предложенный в работе [13]. В качестве инструмента синтеза введем в рассмотрение две плоские волны, падающие с направлений θ_S и θ_N (считаем, что антенна работает в режиме приема). Первую волну рассматриваем как полезный сигнал, который антенна должна принимать с максимальной возможной чувствительностью для всех заданных или ожидаемых направлений θ_S . Тогда вторая из них будет мешающим сигналом, который должен быть подавлен для заданного множества значений θ_N . Таким образом, задача синтеза сводится к задаче приема полезного сигнала на фоне мешающего. Задавая и вводя в расчет статистику ожидаемых углов прихода этих сигналов – плотности вероятностей $W_S(\theta)$ и $W_N(\theta)$, мы тем самым влияем на форму главного и уровень боковых лепестков диаграммы направленности. Такой подход позволяет определить статистически среднюю диаграмму направленности антенны со случайным разбросом чувствительности ее элементов по критерию отношения сигнал/помеха на выходе антенны. Заметим, что задание статистики прихода сигнала и помехи можно трактовать либо как угловой спектр реального поля, либо как инструмент синтеза диаграммы направленности (см. комментарий к статье [13], изложенный в книге [11, 257–258]). Заметим, что в [13] рассмотрена звукопрозрачная антенна в свободном пространстве. Эти результаты обобщены в статье [14] на случай расположения антенны вблизи отражающих

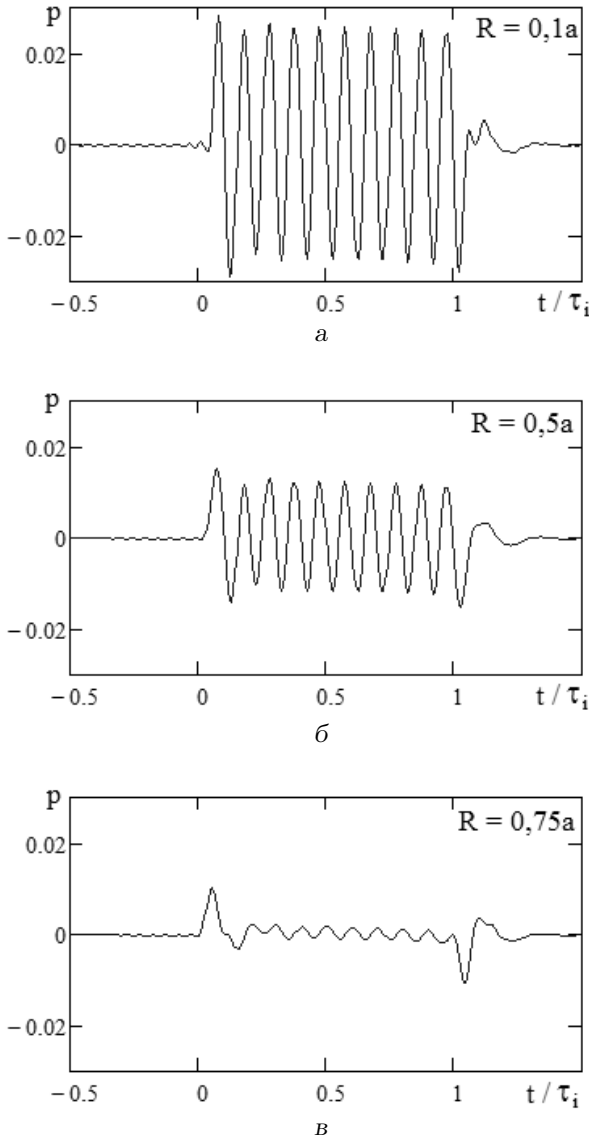


Рис. 10. Временные зависимости давления в дальней зоне импульсного источника S при его различном положении на оси уголка ($\theta=0^\circ$, $2\theta_1=90^\circ$, $a/\lambda=0.5$):
 а - $R=0.1a$, б - $R=0.5a$, в - $R=0.75a$

поверхностей.

Определим амплитудно-фазовую чувствительность n -го приемника как $b_n = \bar{b}_n(1 + \beta_n)$, где β_n – случайные величины с нулевым математическим ожиданием и корреляционной матрицей q_{nm} ; \bar{b}_n – средние значения чувствительностей элементов приемной антенны. Система уравнений для определения оптимального амплитудно-фазового распределения \bar{b}_n имеет вид [13, 14]:

$$\sum_{m=1}^M (1 + q_{nm}) \eta_{nm} \bar{b}_n = s_n, \quad (12)$$

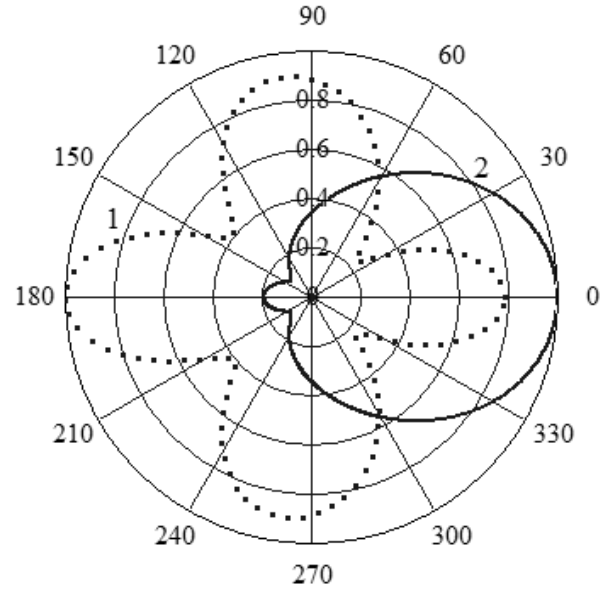


Рис. 11. Диаграммы направленности пары источников в уголке ($2\theta_1=90^\circ$, $R_1=0.6a$, $R_2=0.9a$):

1 – равномерное возбуждение,
 2 – фазированное (по дальнему полю) возбуждение

где

$$s_n = \int_{D(\theta_S)} u_n^*(\theta) W_S(\theta) d\theta, \quad (13)$$

$$\eta_{nm} = \int_{D(\theta_N)} u_n^*(\theta) u_m(\theta) W_N(\theta) d\theta. \quad (14)$$

Здесь $u_n(\theta)$ – эффект на выходе n -го приемника с единичной чувствительностью; * – знак комплексного сопряжения. Полагаем, что случайные величины β_n некоррелированы. Тогда $q_{nm} = \mu \delta_{nm}$, где μ – относительная дисперсия разброса чувствительностей элементов антенны. Заметим, что учет случайного разброса чувствительностей делает систему (12) регулярной, исключая физически нереализуемые решения.

Вернемся к рассматриваемой уголковой антенне, работающей в режиме излучения, и попробуем синтезировать диаграмму направленности с пониженным уровнем поля в заданной области углов излучения. Для определения искомых коэффициентов \bar{b}_n из системы уравнений (12) следует иметь решение задачи о падении плоской волны на уголок. Заметим, что угол падения волны произволен. Поэтому симметрия поля относительно оси $\theta=0$ отсутствует и, как следствие, поле давления в области I в задаче о падении плоской волны на

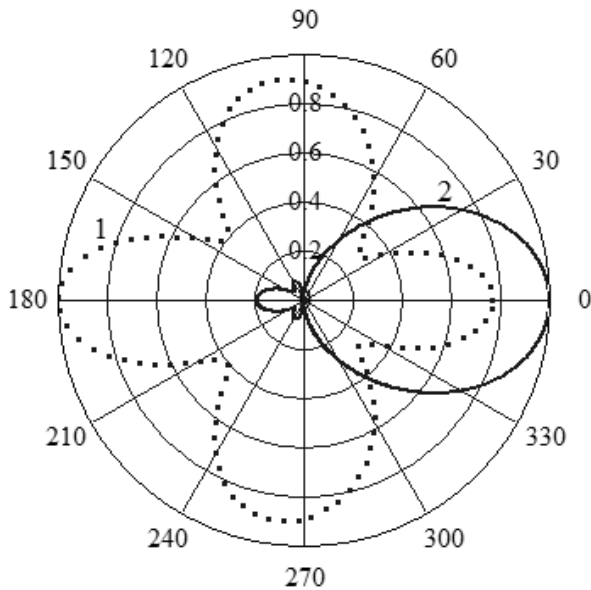


Рис. 12. Диаграммы направленности для трех источников, расположенных на оси уголка ($R_1=0.6a, R_2=0.75a, R_3=0.9a, 2\theta_1=90^\circ, a/\lambda=0.5, \theta_1 \le \theta_S \le \theta_1, \theta_1 \le \theta_N \le 2\pi - \theta_1$):
 1 - $\bar{b}_n=1, n=1, 2, 3$; 2 - синтез

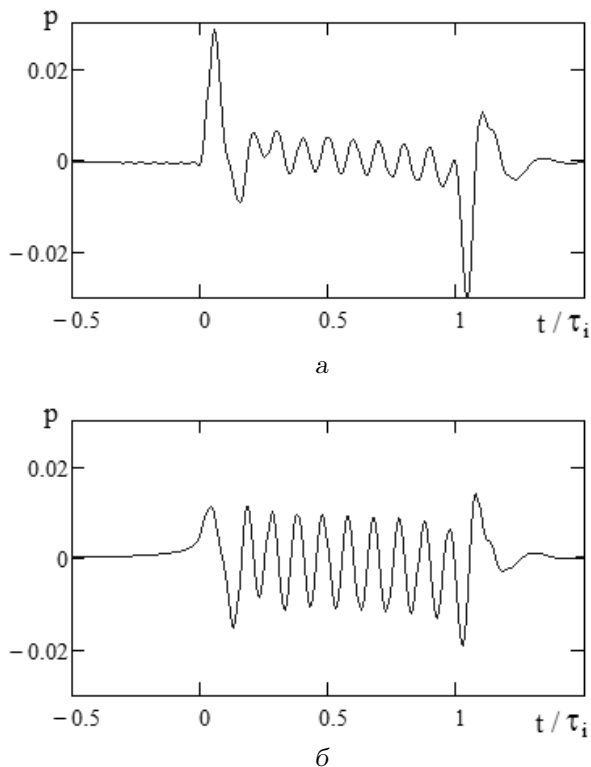


Рис. 13. Временные зависимости давления в дальней зоне для трех источников ($R_1=0.6a, R_2=0.75a, R_3=0.9a, 2\theta_1=90^\circ, a/\lambda=0.5$):
 а - $\bar{b}_n=1, n=1, 2, 3$; б - синтез

уголок принимает вид

$$p_I = \sum_{n=0}^{\infty} A_n \frac{H_n^{(1)}(kr)}{H_n^{(1)\prime}(ka)} \cos(n\theta) + \sum_{n=1}^{\infty} \tilde{A}_n \frac{H_n^{(1)}(kr)}{H_n^{(1)\prime}(ka)} \sin(n\theta) + \sum_{s=0}^{\infty} (-i)^s \varepsilon_s J_s(kr) \cos(s(\theta - \theta_0)). \quad (15)$$

Здесь третья сумма соответствует представлению набегающей на уголок плоской волны $\exp(-ikr \cos(\theta - \theta_0))$ в цилиндрической системе координат [15]: θ_0 – угол падения плоской волны: $\varepsilon_0=1, \varepsilon_s=2$ при $s > 0$.

Аналогичные изменения следует внести в выражения (2), (3) для полей в областях II, III соответственно. При этом первая сумма в формуле (2), определяющая поле источников в уголке, будет отсутствовать. Естественно, условия сопряжения полей (5)–(7) на границе частичных областей остаются прежними.

Таким образом, полагаем, что функции $u_n(\theta), n=1, 2, \dots, M$, определяющие поля давления в некоторых оговоренных точках при произвольном угле падения волны θ_0 , известны. В ситуации, которую мы хотим исследовать, это – точки расположения источников в задаче об излучении звука.

Пусть три источника имеют следующие координаты на оси уголковой антенны ($\theta=0$): $R_1=0.6a, R_2=0.75a, R_3=0.9a$, т.е. расположены неудачно. Функции $W_S(\theta)$ и $W_N(\theta)$ зададим так, чтобы направления прихода полезного и мешающего сигналов были равновероятны в соответствующих интервалах θ_S и θ_N . Пусть сектор прихода сигнала равен углу раскрытия уголка ($-\theta_1 \le \theta_S \le \theta_1$), а помеха охватывает другой сектор ($\theta_1 \le \theta_N \le 2\pi - \theta_1$). Зададим величину дисперсии $\mu=0.03$.

В результате решения системы уравнений (12) определены следующие значения коэффициентов:

n	: 1	2	3
\bar{b}_n	: 1	1.213	0.278
$\arg \bar{b}_1$: 0°	85.85°	-130.32°

На рис. 12 показаны диаграммы направленности, полученные при синфазном возбуждении источников с амплитудой, равной единице (кривая 1), и синтезированная диаграмма (кривая 2). Как видно из графика, синтезированная диаграмма направленности действительно приобрела желаемый вид. Интересно отметить, что введение 15 %-го случайного разброса в значения вычисленных коэффициентов \bar{b}_n практически не изменяет диаграмму синтезированной антенны. Это говорит

об устойчивости используемого алгоритма.

Попробуем теперь применить метод синтеза для узкополосного импульсного сигнала. Пусть рассматриваемые три источника в уголке излучают импульсный сигнал (9). На рис. 13 представлены временные зависимости давления в дальней зоне на оси уголковой антенны. Значения коэффициентов возбуждения источников \bar{b}_n – те же, что и вычисленные для оптимизированной диаграммы направленности. При этом частота несущей в импульсе выбрана равной частоте гармонического сигнала в задаче синтеза антенны. Из рис. 13, а явствует, что при равномерном возбуждении источников присутствуют значительные выбросы, характерные для переходных процессов. В то же время, амплитудно-фазовое управление возбуждением, согласованное с результатом процедуры синтеза в случае гармонического сигнала, позволяет при передаче сохранить форму узкополосного импульса (рис. 13, б).

ВЫВОДЫ

1. Решена задача об определении акустического поля, создаваемого группой точечных гармонических источников, расположенных на оси уголкового отражателя, размеры которого сравнимы с длиной волны.
2. Исследование характеристик дальнего поля излучения показало, что при фиксированной геометрии уголка и перемещении одного источника вдоль его оси можно выделить два характерных участка. На первом из них, примыкающем к вершине уголка, характеристики дальнего поля (коэффициент концентрации, ширина основного лепестка диаграммы направленности и т. п.) остаются стабильными. Например, для уголка со стороной $a = 0.5\lambda$ это справедливо для $0 < R \leq 0.6a$. На втором участке положения источника акустические характеристики нестабильны и такие антенны неудовлетворительны с точки зрения практики.
3. Показано, что при заданных длине стороны уголка и положении источника можно указать диапазон изменения угла раскрытия уголка, для которого в известных пределах сохраняется “оптимальная” диаграмма направленности. Например, для $a = 0.5\lambda$ и $R = 0.5a$ это справедливо в области $80^\circ \leq 2\theta_1 \leq 110^\circ$.
4. При наличии нескольких источников рассмотрена задача синтеза антенны, т. е. оптималь-

ного (с определенной точки зрения) подбора амплитудно-фазового распределения возбуждения источников. Рассмотрены два подхода, один из которых основан на обеспечении конструктивной интерференции сигналов отдельных источников на оси уголка в дальнем поле, а второй позволяет определить статистически среднюю диаграмму направленности антенны со случайным разбросом чувствительности ее элементов по критерию отношения сигнал/помеха на выходе антенны. Полученные результаты подтверждают возможность нахождения оптимальной диаграммы направленности с применением процедуры синтеза антенны.

5. На базе решения для гармонического источника построено решение об излучении импульсного сигнала в виде повторяющейся последовательности отрезков синусоиды. Показано, что при размещении источника на оси уголка можно выделить примыкающий к его вершине участок, при размещении источника в пределах которого удастся с определенной точностью сохранить форму узкополосного импульса. При этом перемещение источника от вершины уголка к его раскрытию сопровождается снижением уровня излучаемого сигнала. При наличии нескольких источников показана возможность подбора амплитудно-фазового распределения их возбуждения с целью сохранения формы узкополосного импульса в дальнем поле.

1. Кюн Р. Микроволновые антенны.– Л.: Судостроение, 1967.– 520 с.
2. Айзенберг Г. З., Ямпольский В. Г., Терешин О. И. Антенны УКВ.– М.: Связь, 1977.– 384 с.
3. Красненко Н. П. Акустическое зондирование атмосферного пограничного слоя.– Томск: Водолей, 2001.– 280 с.
4. Каллистратова М. А., Кон А. И. Радиоакустическое зондирование атмосферы.– М.: Наука, 1985.– 200 с.
5. Singal S. P. (Ed.) Acoustic remote sensing application. Lecture notes in earth Science.– Berlin: Springer, 1999.– 580 p.
6. Graber C. E. Rectangular horn for varied acoustic drivers // JASA.– 2011.– **129**, № 3.– P. 1663.
7. Danley T. J. Horn-loaded acoustic line source // JASA.– 2013.– **133**, № 3.– P. 1843.
8. Гринченко В. Т., Вовк И. В., Мацьпура В. Т. Волновые задачи акустики.– К.: Интерсервис, 2013.– 572 с.
9. Шендеров Е. Л. Излучение и рассеяние звука.– Л.: Судостроение, 1989.– 304 с.

10. Трунова Л. А. Точкове джерело в околі кутикового відбивача // Вісн. КНУ ім. Тараса Шевченка. Фіз.-мат. науки.– 2014.– № 2.– С. 87–90.
11. Смаришев М. Д. Направленность гидроакустических антенн.– Л.: Судостроение, 1973.– 257 с.
12. Зелкин Е. Г., Соколов В. Г. Методы синтеза антенн.– М.: Сов. радио, 1980.– 294 с.
13. Маяцкий В. И. Синтез дискретных антенн с оптимальными средними диаграммами направленности // Радиотехн. электрон.– 1967.– **12**, № 12.– С. 2118–2122.
14. Галаненко В. Б., Красный Л. Г., Мацыпура В. Т. О синтезе антенн, расположенных вблизи отражающих поверхностей // Акуст. ж.– 1983.– **29**, № 5.– С. 603–607.
15. Ржевкин С. Н. Курс лекций по теории звука.– М.: Изд-во МГУ, 1960.– 336 с.